

6.19 Theorem: Ist n ungerade, so ist $\pi_m(S^n)$ für alle $m \geq n+1$ endlich.

Beweis: Sei F die Konstante Faser von $S^n \xrightarrow{i_n} K(\mathbb{Z}, n)$.
Aus 6.18 folgt, dass $i_{n*} : H_*(S^n; \mathbb{Q}) \rightarrow H_*(K(\mathbb{Z}, n); \mathbb{Q})$
ein Isomorphismus ist. Daraus folgt $H_m(F; \mathbb{Q}) = 0$ für
 $m > 0$ (Edge Kom $\Rightarrow E_{m,0}^2 = E_{m,0}^\infty \forall m$; falls
 $m > 0$ minimal ist mit $H_m(F; \mathbb{Q}) \neq 0$, dann folgt
 $H_m(F; \mathbb{Q}) \hookrightarrow H_m(S^n, \mathbb{Q}) \xrightarrow{\cong}$).

Künneths Modulvorsatz $\Rightarrow \pi_m(F) \otimes \mathbb{Q} = 0 \forall m \geq 1$.
Da $\pi_m(F) \cong \pi_m(S^n)$ für $m \geq n$ folgt $\pi_m(S^n) \otimes \mathbb{Q} = 0$,
und da $\pi_m(S^n) \in \mathbb{F}_2$ folgt $\pi_m(S^n) \in \mathbb{F}_2, \forall m \geq n. \#$

6.20 Korollar π_n^S ist endlich für $n \geq 1$.

Beweis: $\pi_n^S \cong \pi_{2m-n+1}^S$ für m groß genug. $\#$

6.21 Theorem: Ist $k \geq 2$ gerade, so ist $\pi_m(S^k)$ für alle
 $m \geq k+1, m \neq 2k-1$ endlich, und $\pi_{2k-1} S^k \cong \mathbb{Z} \oplus F$
mit F endlich.

Beweis: Sei $k = 2n$. Betrachte den Faserbündel

$$V_{2n,1}^{\mathbb{R}} \rightarrow V_{2n+1,2}^{\mathbb{R}} \xrightarrow{p} V_{2n+1,1}^{\mathbb{R}} \quad \text{aus 2.14,}$$

also $S^{2n-1} \rightarrow V \xrightarrow{p} S^{2n}$, mit $V = V_{2n+1,2}^{\mathbb{R}}$.

Ein Teil der L.E.F in Konstante ist

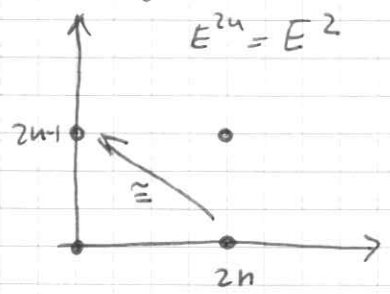
$$0 \rightarrow \pi_{2n} V \xrightarrow{p_*} \pi_{2n} S^{2n} \xrightarrow{\partial} \pi_{2n-1} S^{2n-1} \rightarrow \pi_{2n-1} V \rightarrow 0$$

Wir wissen: ∂ ist injektiv! ($\partial: \mathbb{Z} \rightarrow \mathbb{Z}$, also ist ∂
injektiv oder 0. Wenn es null ist, so ist

$\pi_{2n} V \xrightarrow{p_*} \pi_{2n} S^{2n}$ surjektiv; in diesem Fall $\exists f:$
 $S^{2n} \rightarrow V$ mit $p \circ f = \text{id}_{S^{2n}}$. Da p eine Faserng ist, können
wir f mit $p \circ f = \text{id}_{S^{2n}}$ wählen $\Rightarrow S^{2n}$ hat eine tangentialen
Vektorfeld ohne Nullstellen \Leftarrow).

Daraus folgt: $\pi_m V \in \mathcal{F}in$ für alle $1 \leq m \leq 2n$;

6.12 $\Rightarrow H_m V \in \mathcal{F}in$ für alle $1 \leq m \leq 2n$. Die Sequenz der Fasern $S^{2n-1} \rightarrow V \rightarrow S^{2n}$ für $H_*(-; \mathbb{Q})$:



hat 4 nicht triviale Einträge.

Da $H_{2n} V \in \mathcal{F}in$ folgt $H_{2n}(V; \mathbb{Q}) = 0$, und $d^{2n}: E_{2n,0}^{2n} \rightarrow E_{0,2n-1}^{2n}$ muss ein Iso sein.

$$\Rightarrow H_m(V; \mathbb{Q}) \cong \begin{cases} \mathbb{Q} & m = 0, 4n-1, \\ 0 & \text{sonst.} \end{cases}$$

Da $H_m(V; \mathbb{Z})$ endlich erzeugt ist, $\forall m$, folgt

$H_m(V; \mathbb{Z}) \in \mathcal{F}in \forall 1 \leq m < 4n-1$. Daraus folgt

$\pi_m(V) \in \mathcal{F}in \forall 1 \leq m < 4n-1$, und

$$h_{4n-1}: \pi_{4n-1}(V) \rightarrow H_{4n-1}(V) \cong \mathbb{Z} \oplus ? \quad (? \in \mathcal{F}in)$$

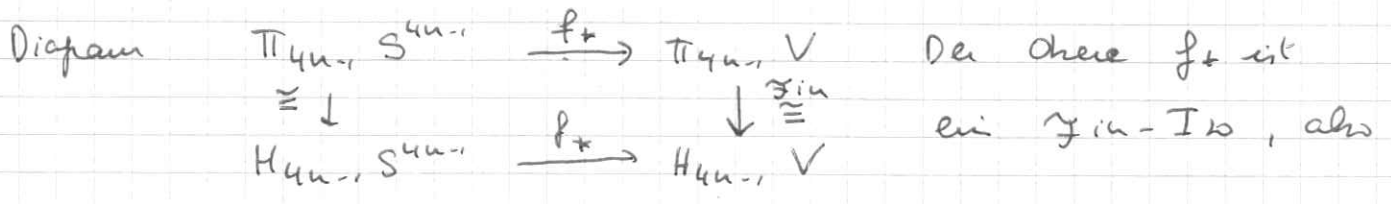
ist ein $\mathcal{F}in$ -Iso; Andererseits: $\pi_m(V) \rightarrow \pi_m(S^{2n})$

ist ein $\mathcal{F}in$ -Iso $\forall m \geq 2n+1$, dank 6.13, also $\pi_m(S^{2n}) \in \mathcal{F}in$

$\forall 2n+1 \leq m < 4n-1$ und $\pi_{4n-1}(S^{2n}) \cong_{\mathcal{F}in} \mathbb{Z}$.

Es bleibt zu zeigen: $\pi_m(V) \in \mathcal{F}in \forall m \geq 4n$.

Sei $f: S^{4n-1} \rightarrow V$ ein Erzeuger von einer unendlichen zyklischen Untergruppe von $\pi_{4n-1} V \cong_{\mathcal{F}in} \mathbb{Z}$. Wir haben eine kommutative



Also induziert f einen Isomorphismus $f_*: H_*(S^{4n-1}; \mathbb{Q}) \xrightarrow{\cong} H_*(V)$. Sei F die Kompositum

Faser von f . Wie im Beweis von 6.19 folgt $H_m(F; \mathbb{Q}) = 0$

$\forall m \geq 1$, also $H_m(F; \mathbb{Z}) \in \mathcal{Gors} \cap \mathcal{FG} = \mathcal{F}in \forall m \geq 1$,

also $\pi_m(F; \mathbb{Z}) \in \mathcal{F}in \forall m \geq 1$. Da $\pi_m(S^{4n-1})$

$\in \mathcal{F}in \forall m \geq 4n$ folgt aus der LEF von $F \rightarrow V \rightarrow S^{4n-1}$,

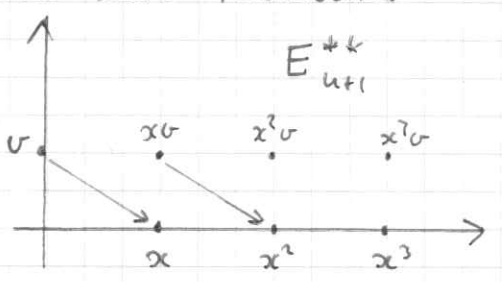
dass $\pi_m V \in \mathcal{F}in \forall m \geq 4n$. #

Wir untersuche noch etwas π_*^S . Wir werden etwas Info über $H_*(\Omega^2 S^n; \mathbb{F}_p)$ brauchen. Als Aufwärmung berechnen wir erst:

6.22 Lemma: Sei $n \geq 3$ ungerade. Die Abbildung $\rho: S^n \rightarrow \Omega^2 S^{n+2}$ (adjungiert zu $\Sigma^2 S^n \xrightarrow{\cong} S^{n+2}$) induziert einen Isomorphismus $H_*(S^n; \mathbb{Q}) \rightarrow H_*(\Omega^2 S^{n+2}; \mathbb{Q})$.

Beweis: es genügt zu beweisen: ρ induziert einen Iso auf $H^*(-; \mathbb{Q})$. Aus 5.30 haben wir $H^*(\Omega S^{n+2}; \mathbb{Z}) \cong \Gamma(x)$, $|x| = n+1$, also $H^*(\Omega S^{n+2}; \mathbb{Q}) \cong \Gamma(x) \otimes \mathbb{Q} \cong \mathbb{Q}[x]$. Die Sequenz für $\Omega^2 S^{n+2} \rightarrow P\Omega S^{n+2} \rightarrow \Omega S^{n+2}$ für $H^*(-; \mathbb{Q})$ kann man rückwärts bestimmen:

$\exists v \in H^n(\Omega^2 S^{n+2}; \mathbb{Q})$
 mit $d_{n+1}(v) = x \Rightarrow d_{n+1}(x^n v) = x^{n+1} v$
 Also $E_{\mathbb{Q}}(v) \subset H^*(\Omega^2 S^{n+2}; \mathbb{Q})$.
 Falls $A = H^*(\Omega^2 S^{n+2}; \mathbb{Q}) \setminus E_{\mathbb{Q}}(v) \neq \emptyset$,



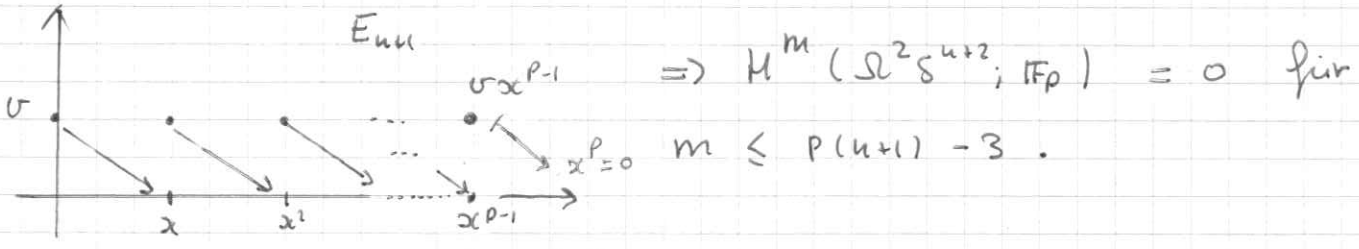
so muss jede niedrigst dimensionale Klasse in A zu E_{n+1}^{*k} überleben; Also $A=0$. Es folgt $H_*(\Omega^2 S^{n+2}; \mathbb{Q}) \cong H_*(S^n; \mathbb{Q})$.

Aber ρ induziert einen Iso auf π_n , also auf $H_n(-; \mathbb{Z})$ (Hurewicz) also auf $H_*(-; \mathbb{Q})$. #

6.23 Lemma: Sei $n \geq 3$ ungerade, und p eine Primzahl. Die Abbildung $\rho: S^n \rightarrow \Omega^2 S^{n+2}$ induziert einen Isomorphismus $H_m(S^n; \mathbb{F}_p) \rightarrow H_m(\Omega^2 S^{n+2}; \mathbb{F}_p)$ für alle $m \leq p(n+1) - 3$.

Beweis: Analog zu 6.22: Wir beweisen es für $H_m^*(p; \mathbb{F}_p)$. Aus 5.30: $H^*(\Omega S^{n+2}; \mathbb{Z}) \cong \Gamma(x)$, also $H_{\infty}^*(\Omega S^{n+2}; \mathbb{F}_p) \cong \mathbb{F}_p[x]/x^p \otimes \mathbb{F}_p[\gamma_p x]/(\gamma_p x)^p \otimes \dots \cong \bigotimes_{i=1}^{\infty} \mathbb{F}_p[\gamma_{p^i} x]/(\gamma_{p^i} x)^p$. Hier $|x| = n+1$, also $|\gamma_p x| = p(n+1)$. Insbesondere ist $\mathbb{F}_p[x] \rightarrow H^*(\Omega S^{n+2}; \mathbb{F}_p)$ ein Iso von \mathbb{F}_p -Algebren in Grad $* \leq p(n+1) - 1$.

Damit können wir die Serie Sp seq für $\Omega^2 S^{u+2} \rightarrow P \Omega S^{u+2} \rightarrow \Omega S^{u+2}$ für $H^*(-; \mathbb{F}_p)$ rückwärts teilweise bestimmen (analog zu 6.22).



(hier $\exists z \in H^{p(u+1)-2}(\Omega^2 S^{u+2}; \mathbb{F}_p)$ mit $d_{(n+1)(p-1)}^{(z)} = vx^{p-1}$).

Wie in 6.22 wissen wir dank Hurewicz, dass ρ ein Iso in $H_m(-; \mathbb{F}_p)$ für $m \leq p(u+1) - 3$ induziert. #

Sei nun p eine Primzahl fixiert, und sei $\mathbb{P} = \{l \text{ prim} \mid l \neq p\}$.

6.24 Korollar: Sei $n \geq 3$ ungerade; Die Abbildung ρ aus 6.22 induziert ein $\text{Tors}_{\mathbb{P}}$ -Isomorphismus

$$\rho_*: H_m(S^n; \mathbb{Z}) \rightarrow H_m(\Omega^2 S^{n+2}; \mathbb{Z})$$

für alle $m \leq p(n+1) - 3$.

Beweis: Wir wissen dass $\rho_m: H_m(S^n; \mathbb{Z}) \rightarrow H_m(\Omega^2 S^{n+2}; \mathbb{Z})$ für alle m injektiv ist. Betrachte die kurze exakte Folge

$$0 \rightarrow H_m(S^n; \mathbb{Z}) \xrightarrow{\rho_*} H_m(\Omega^2 S^{n+2}; \mathbb{Z}) \rightarrow \text{Coker}(\rho_m) \rightarrow 0$$

Wir tensorieren mit \mathbb{F}_p :

$$\begin{array}{ccccc} H_m(S^n; \mathbb{Z}) \otimes \mathbb{F}_p & \xrightarrow{\rho_* \otimes 1} & H_m(\Omega^2 S^{n+2}; \mathbb{Z}) \otimes \mathbb{F}_p & \rightarrow & \text{Coker}(\rho_m) \otimes \mathbb{F}_p \rightarrow 0 \\ \downarrow \cong & & \downarrow \alpha & & \\ H_m(S^n; \mathbb{F}_p) & \xrightarrow{\rho_*} & H_m(\Omega^2 S^{n+2}; \mathbb{F}_p) & & \end{array}$$

Dank 6.23 ist ρ_* ein Iso für $m \leq p(n+1) - 3$, also α auch, also $\rho_* \otimes 1$ auch, also $\text{Coker}(\rho_m) \otimes \mathbb{F}_p = 0$. Da

$\text{Coker}(\rho_m) \in \mathbb{F}G$ folgt $\text{Coker}(\rho_m) \in \text{Tors}_{\mathbb{P}}$ (Sogar $\mathbb{F}[\mathbb{P}]$). #

6.25 Satz: Seien $n \geq 3$ ungerade, p und \mathbb{P} wie oben.

Die Abbildung $\Sigma^2: \pi_i(S^n) \rightarrow \pi_{i+2}(S^{n+2})$

ist ein $\text{Tors}_{\mathbb{P}}$ -Iso für $i < p(n+1) - 3$ (und ein $\text{Tors}_{\mathbb{P}}$ -Epi für $i = p(n+1) - 3$).

Beweis: Die Abbildung $\Sigma^2: \pi_i(S^n) \rightarrow \pi_{i+2}(S^{n+2})$ ist die Verknüpfung $\pi_i(S^n) \xrightarrow{p_*} \pi_i(\Omega^2 S^{n+2}) \cong \pi_{i+2}(S^{n+2})$, also genügt es zu zeigen, dass p_* ein Tor_p -Iso für $i < p(n+1)-3$ (Tor_p -Epi für $i = p(n+1)-3$) ist.

Sei F die Konstante Faser von p . Dank 6.24 wissen wir also, dass $H_m(F; \mathbb{Z}) \in \text{Tor}_p$ für alle $1 \leq m \leq (n+1)p-4$ (vergleiche Beweis von 6.19).

Also $\pi_m(F) \in \text{Tor}_p$ für alle $1 \leq m \leq (n+1)p-4$, und die gewünschte Behauptung folgt aus der LEF von $F \rightarrow S^n \rightarrow \Omega^2 S^{n+2}$ in Homotopie. (Alternativer Beweis: benutze 6.29). #

6.26 Korollar: Sei $k \geq 0$. Dann induziert

$$\Sigma^{2k}: \pi_i(S^3) \rightarrow \pi_{i+2k}(S^{3+2k})$$

ein Isomorphismus der p -Primäre Komponenten für alle $i < 4p-3$.

Beweis:
$$\pi_i(S^3) \xrightarrow{\Sigma^2} \pi_{i+2}(S^5) \xrightarrow{\Sigma^2} \dots \rightarrow \pi_{i+2k-2}(S^{2k+1}) \xrightarrow{\Sigma^2} \pi_{i+2k}(S^{3+2k})$$

↑ Tor_p -Iso für $i < 4p-3$, die nächst sofar für größere Werte von i .

6.27 Theorem: Die p -Primäre Komponente von π_m^S ist 0 für $m < 2p-3$ und gleich \mathbb{Z}/p für $m = 2p-3$.

Beweis: $\pi_m^S \cong \pi_{m+l}^S(S^l)$ für l gross genug.

Dank 6.26 ist $\pi_{3+m}^S(S^3) \rightarrow \pi_{m+l}^S(S^l)$ ein

Tor_p -Iso für $m < 4p-6$, insbesondere für $m \leq 2p-3$.

Also folgt das Theorem aus 6.15. #

Wir haben in 6.19 und mehrmals danach eine einfache Form des "Whitehead-Theorems modulo Serre-Klassen" verwendet. Dafür brauchen wir von unseren Serre-Klassen die weitere Eigenschaft

$$(6.28) \quad \text{Für } A \in \mathcal{C} \text{ und } B \in \text{Ab} \text{ gilt} \\ A \otimes B \in \mathcal{C} \text{ und } \text{Tor}_i^1(A, B) \in \mathcal{C}.$$

6.29 Theorem (Whiteheadssatz modulo Serre-Klassen). Sei \mathcal{C} eine Serre-Klasse mit der Eigenschaft (6.28), so gewählt dass Theorem 6.12 gilt (typischerweise $\mathcal{C} = \text{Tors}_p$).

Seien X, Y 1-zusammenhängende Räume, $f: X \rightarrow Y$ eine Abbild. und $n \geq 1$. Die folgenden Eigenschaften sind äquivalent:

(a) $f_*: \pi_m X \rightarrow \pi_m Y$ ist ein \mathcal{C} -Iso für $m < n$ und ein \mathcal{C} -Epi für $m = n$.

(b) $f_*: H_m(X; \mathbb{Z}) \rightarrow H_m(Y; \mathbb{Z})$ ist ein \mathcal{C} -Iso für $m < n$ und ein \mathcal{C} -Epi für $m = n$.

Beweis: (a) \Rightarrow (b) Sei F die Konstante-Faser von f .

Aus der LEF in π_* und (a) folgt also: $\pi_m(F) \in \mathcal{C}$

für alle $m < n$, und aus 6.12 folgt also auch

$H_m(F; \mathbb{Z}) \in \mathcal{C}$ für alle $1 \leq m < n$. Betrachte die Serre sp. seq.

von $F \rightarrow X \xrightarrow{f} Y$. Aus (6.28) folgt also $E_{p,q}^2 \in \mathcal{C}$

für alle $0 < q < n$, und dann $E_{p,q}^\infty \in \mathcal{C}$ für alle

$0 < q < n$. Es folgt (wie im Beweis von 6.7), dass für $1 \leq m < n$

$F_{m-1} H_m \in \mathcal{C}$; Wir haben eine exakte Folge

$$0 \rightarrow F_{m-1} H_m \rightarrow F_m H_m = H_m(X) \xrightarrow{f_*} H_m(Y),$$

also $\ker f_* \cong F_{m-1} H_m \in \mathcal{C}$ für $1 \leq m < n$.

Außerdem liegt $\text{Coker}(f_*) \in \mathcal{C}$ für $1 \leq m \leq n$:

$$\text{Coker}(f_*) = H_m(Y) / E_{m,0}^\infty.$$

Aber beachte das exakte Diagramm

$$\begin{array}{ccccccc}
 E_{m,0}^\infty = E_{m,0}^{m+1} & \subset & E_{m,0}^m & \cdots & \subset & E_{m,0}^4 & \subset & E_{m,0}^3 & \subset & E_{m,0}^2 = H_m(Y) \\
 & & \downarrow d^m & & & \downarrow d^4 & & \downarrow d^3 & & \downarrow d^2 \\
 & & \text{Bild } d^m & \cdots & \text{Bild } d^4 & & \text{Bild } d^3 & & \text{Bild } d^2 & \\
 & & \underbrace{\hspace{10em}} & & & & & & & \\
 & & & & & & & & & \in C
 \end{array}$$

Es folgt $H_m(Y) / E_{m,0}^\infty \in C$!

(Verwende iterativ: $A \hookrightarrow B \hookrightarrow C$ liefert eine exakte Folge
 $\downarrow \quad \downarrow \quad \quad \quad 0 \rightarrow B/A \rightarrow C/A \rightarrow C/B \rightarrow 0$
 $B/A \quad C/B$)

(b) \Rightarrow (a) zu zeigen: $H_m(F; \mathbb{Z}) \in C$ für $1 \leq m < n$.

Sei angenommen, dass ein $1 \leq k < n$ existiert, mit $H_k(F; \mathbb{Z}) \notin C$, und k minimal mit dieser Eigenschaft.

Dann folgt: $E_{0,k}^l \notin C$ für $2 \leq l \leq k+1$. Für $l=2$ gilt $E_{0,k}^2 = H_k(F; \mathbb{Z})$, und dann per Induktion auf l mit Hilfe von

$$E_{l, k-l+1}^l \xrightarrow{d^l} E_{0,k}^l \rightarrow E_{0,k}^{l+1} \rightarrow 0 \quad (\text{exakt})$$

zusammen mit $E_{l, k-l+1}^l \in C$ (dank Minimalität von k und 6.28!).

Betrachte $E_{k+1,0}^{k+1} \xrightarrow{d^{k+1}} E_{0,k}^{k+1} \twoheadrightarrow E_{0,k}^{k+2} \rightarrow 0 \quad (\text{exakt})$

Diesmal gilt nicht $E_{k+1,0}^{k+1} \in C$, aber wir haben

$$0 \rightarrow E_{k+1,0}^{k+1} / \text{Ker}(d^{k+1}) \xrightarrow{d^{k+1}} E_{0,k}^{k+1} \rightarrow E_{0,k}^\infty \rightarrow 0 \quad \text{exakt}$$

Wir wissen (Edge) dass $\text{Ker}(d^{k+1}) = E_{k+1,0}^\infty = \text{Bild}(f_*)$

Also ist $E_{k+1,0}^{k+1} / \text{Ker}(d^{k+1}) \subset H_{k+1}(B) / \text{Bild}(f_*) \in C$

Also wissen wir: $E_{0,k}^\infty \notin C$. Aber $E_{0,k}^\infty \subset \text{Ker}(f_*)$, was (b) widerspricht. Also $H_m(F; \mathbb{Z})$ (und $H_m(F) \in C$) $\forall 1 \leq m < n$.

#